

## 2022 届高三第二次 T8 联考

### 物理试题

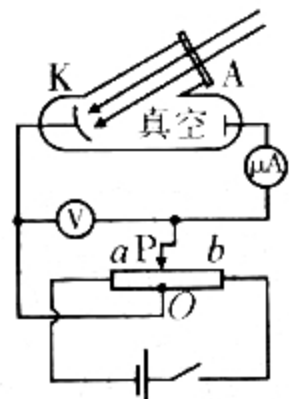
命题学校:新洲一中 命题人:胡东明 何志平 宋海霞 审题人:朱雄飞 姚远 张昌力  
考试时间:2022 年 3 月 22 日下午 14:10—15:25 试卷满分 100 分 考试用时 75 分钟

#### 注意事项:

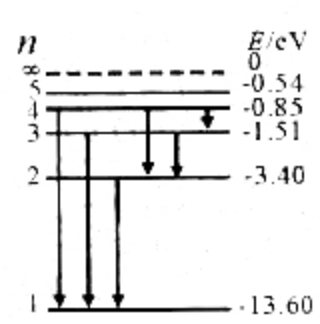
- 答卷前,考生务必将自己的姓名、准考证号填写在答题卡上。
- 回答选择题时,选出每小题答案后,用铅笔把答题卡对应题目的答案标号涂黑。如需改动,用橡皮擦干净后,再选涂其他答案标号。回答非选择题时,将答案写在答题卡上。写在本试卷上无效。
- 考试结束后,将本试卷和答题卡一并交回。

一、选择题:本题共 11 小题,每小题 4 分,共 44 分。在每小题给出的四个选项中,第 1~7 题只有一项符合题目要求,第 8~11 题有多项符合题目要求。全部选对的得 4 分,选对但不全的得 2 分,有选错的得 0 分。

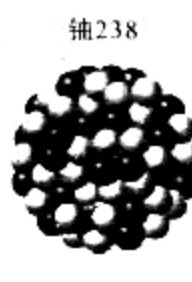
1. 下列四幅图分别对应四种说法,其中正确的是



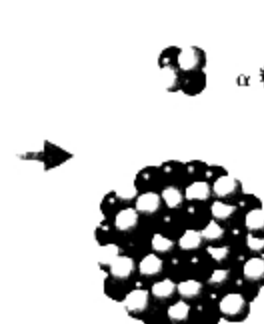
(a)研究光电效应



(b)氢原子能级图



(c)  $\alpha$  衰变示意图



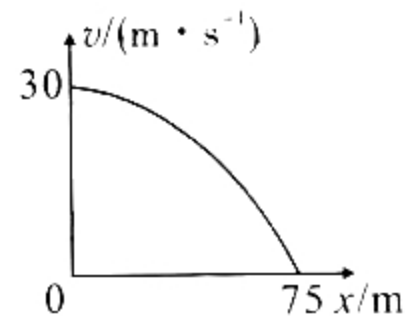
(d)轻核聚变示意图

- A. 图(a)中,分别用频率为  $\nu_1$  和  $\nu_2$  的光照射同一光电管,电流表均有示数,调节滑动变阻器的触头 P,使微安表示数恰好为零,分别读出电压表对应的示数  $U_1$  和  $U_2$ ,已知电子电量为  $e$ ,可以推导出普朗克常量的计算式

- B. 图(b)中,一个氢原子吸收能量从基态向  $n=3$  的能级跃迁时,最多可以吸收 3 种不同频率的光  
C. 图(c)中,铀 238 的半衰期是 45 亿年,经过 45 亿年,两个铀 238 必定有一个发生衰变  
D. 图(d)中,氘核的核子平均质量小于氦核的核子平均质量

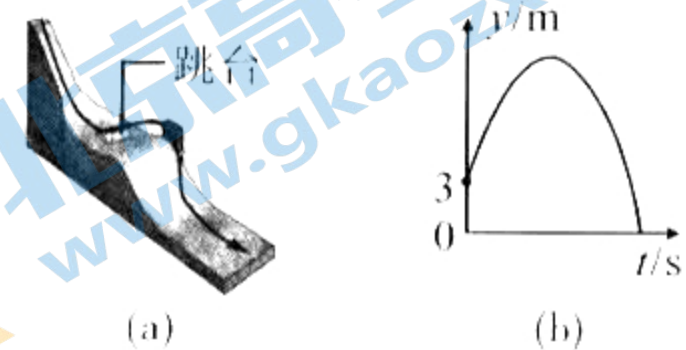
2. 近年来,国产新能源汽车的销量得到大幅增长。为检测某新能源汽车的刹车性能,现在平直公路上做刹车实验,测得汽车在某次刹车过程中速度  $v$  与位移  $x$  的关系如图所示,设刹车过程中汽车做匀减速直线运动,已知  $t=0$  时刻汽车速度为 30 m/s,重力加速度  $g$  取  $10 \text{ m/s}^2$ 。下列说法正确的是

- A. 刹车过程汽车的加速度大小为  $0.4 \text{ m/s}^2$   
B. 路面与车轮之间的动摩擦因数为 0.4  
C.  $t=3 \text{ s}$  时,汽车的速度大小为 12 m/s  
D.  $0 \sim 6 \text{ s}$  内,汽车的位移大小为 72 m



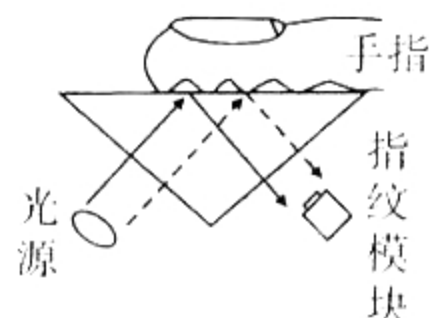
3. 2022年北京冬奥会自由式滑雪女子大跳台决赛中,中国选手谷爱凌以188.25分的成绩获得金牌。将谷爱凌视为质点,图(a)是谷爱凌从3m高跳台斜向上冲出的运动示意图,图(b)是谷爱凌在空中运动时离跳台底部所在水平面的高度y随时间t变化的图线。已知t=1s时,图线所对应的切线斜率为4(单位:m/s),重力加速度g取10m/s<sup>2</sup>,不计空气阻力,下列说法正确的是

- A. 谷爱凌冲出跳台的速度大小为14m/s
- B. t=1.4s时,谷爱凌到达最高点,离跳台底部所在水平面的高度为9.8m
- C. t=1.0s和t=1.8s时,谷爱凌的速度大小相等,方向相反
- D. 谷爱凌落到跳台底部所在水平面的速度一定大于16m/s

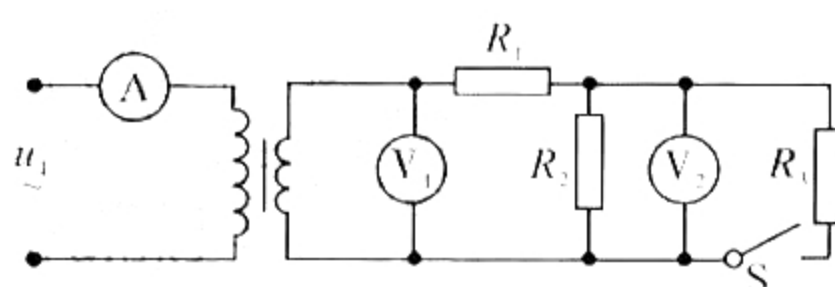


4. 如图所示是指纹识别原理图,其原理是利用光学棱镜的全反射特性,在指纹谷线(凹部),入射光在棱镜界面发生全反射,在指纹脊线(凸部),入射光的某些部分被吸收或者漫反射到别的地方,这样,在指纹模块上形成明暗相间的指纹图像。已知水的折射率约为1.33,透明玻璃的折射率约为1.5。下列说法正确的是

- A. 指纹模块接收光线较暗的部位是指纹谷线
- B. 指纹模块接收光线较亮的部位是指纹谷线
- C. 没有手指放入时,若光源正常发光,指纹模块会接收到全暗图像
- D. 手指湿润时,指纹识别率低,是因为光在棱镜界面不能发生全反射

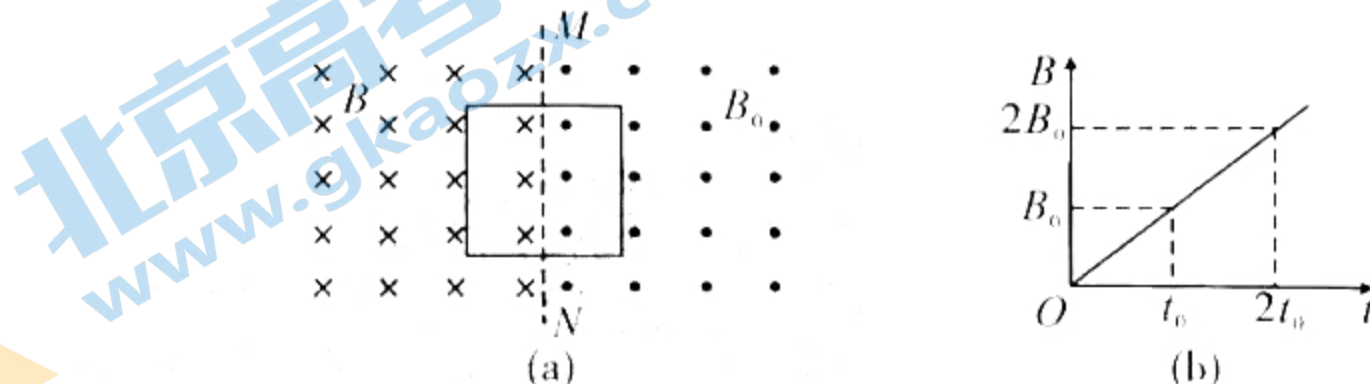


5. 如图所示,理想变压器原副线圈的匝数比为11:1,电表均为理想的交流电表,电阻R<sub>1</sub>、R<sub>2</sub>、R<sub>3</sub>为定值电阻,电压u<sub>1</sub>=220√2sin(100πt)V,初始时开关S闭合,下列说法正确的是



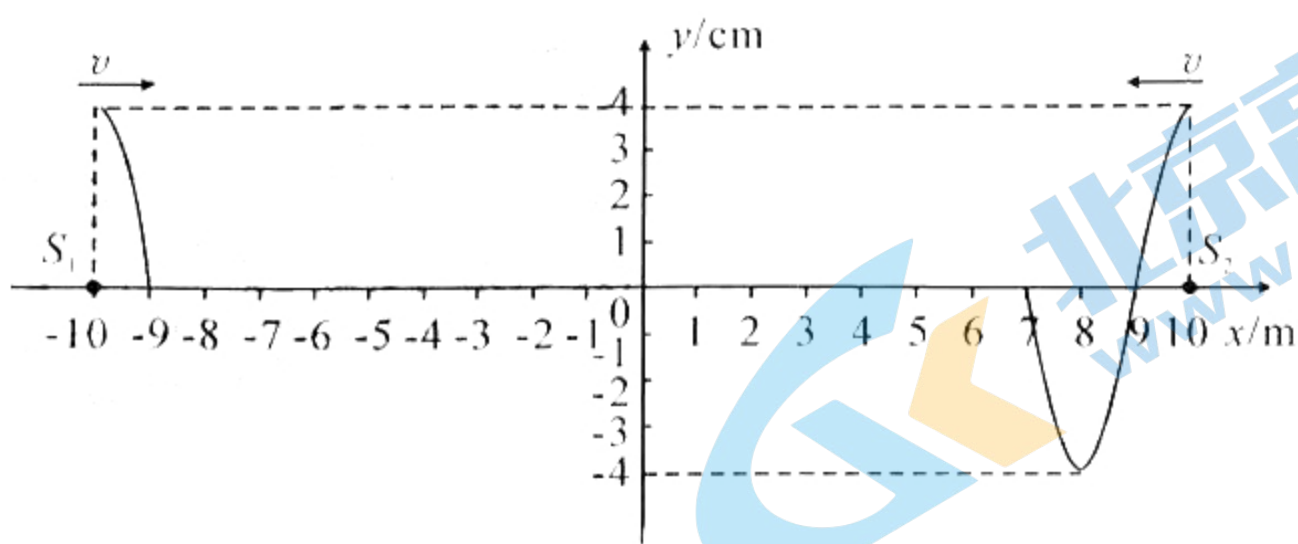
- A. 断开开关S后,电压表V<sub>1</sub>的读数为20√2sin(100πt)V,电压表V<sub>2</sub>的读数增大
- B. 断开开关S后,原、副线圈的电流都增大,且电流之比不变
- C. 断开开关S后,电阻R<sub>1</sub>的功率减小,电阻R<sub>2</sub>的功率增大,原线圈的输入功率变小
- D. 若将电流表A换成与R<sub>1</sub>相同的定值电阻,断开开关S后,整个副线圈回路消耗的功率增大

6. 如图(a),边长为d的单匝正方形导线框固定在水平纸面内,线框的电阻为R。虚线MN恰好将线框分为左右对称的两部分,在虚线MN左侧的空间内存在与纸面垂直的匀强磁场,规定垂直于纸面向里为磁场的正方向,磁感应强度B随时间t变化的规律如图(b)。虚线MN右侧存在垂直纸面向外的匀强磁场,磁感应强度大小恒为B<sub>0</sub>。下列说法正确的是



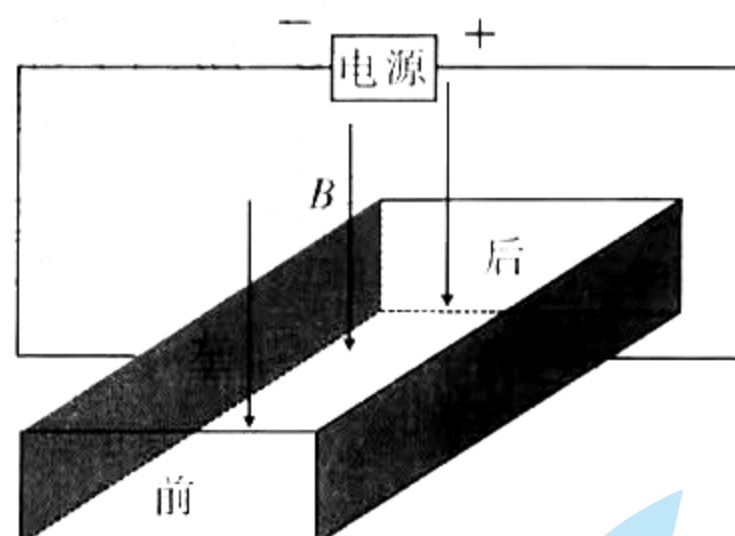
- A. t<sub>0</sub>时刻,线框中产生的感应电动势大小为  $\frac{B_0 d^2}{t_0}$
- B. t<sub>0</sub>时刻,线框所受安培力的合力为0
- C. 2t<sub>0</sub>时刻,线框受到的安培力大小为  $\frac{3B_0^2 d^3}{2R t_0}$
- D. 在0~2t<sub>0</sub>内,通过线框导线横截面的电荷量为  $\frac{B_0 d^2}{2R}$

7. 如图所示,在均匀介质中,位于 $x = -10\text{ m}$ 和 $x = 10\text{ m}$ 处的两波源 $S_1$ 和 $S_2$ 沿 $y$ 轴方向不断振动,在 $x$ 轴上形成两列振幅均为 $4\text{ cm}$ 、波速均为 $2\text{ m/s}$ 的相向传播的简谐横波, $t = 0$ 时刻的波形如图,下列说法正确的是



- A. 波源 $S_1$ 和 $S_2$ 的起振方向都沿 $y$ 轴正方向
- B.  $t = 5\text{ s}$ 时,两列波的第一个波峰在 $x = -1\text{ m}$ 处相遇
- C.  $0 \sim 5\text{ s}$ 内, $x = -2\text{ m}$ 处的质点运动的路程为 $8\text{ cm}$
- D. 形成稳定干涉图样后, $x$ 轴上两波源间(不含波源)有 $9$ 个振动加强点

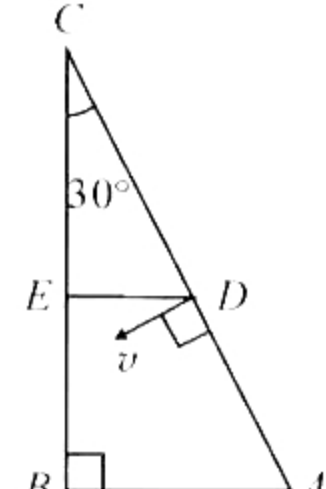
8. 我国“洛神”号潜艇研制已经取得了重大突破,开始进入试车定型阶段,该潜艇应用了超导磁流体推进器。如图是超导磁流体推进器原理图,推进器浸没在海水中,海水由前、后两面进出,左、右两侧导体板连接电源,与推进器里的海水构成回路,由固定在潜艇上的超导线圈(未画出)产生垂直于海平面向下的匀强磁场,磁感应强度为 $B$ 。已知左、右两侧导体板间海水的体积为 $V$ ,垂直于导体板方向单位面积上的电流为 $I$ (导体板外电流不计)。下列说法正确的是



- A. 要使潜艇前进,左、右两侧导体板所接电源的正、负极应与图示方向相同
- B. 同时改变超导线圈中电流的方向和海水中电流的方向,潜艇受磁场力的方向将反向
- C. 潜艇所受磁场力的大小为 $IVB$
- D. 若导体板间海水的电阻为 $R$ ,其两端的电压为 $U$ ,则潜艇在海水中匀速前进时,海水中的电流小于 $\frac{U}{R}$

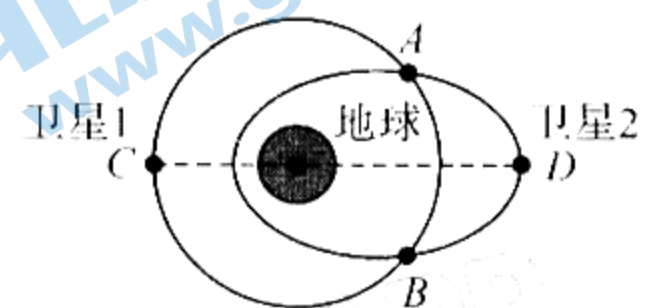
9. 如图所示,在与纸面平行的匀强电场中有 $A$ 、 $B$ 、 $C$ 三点构成的直角三角形, $\angle ABC = 90^\circ$ , $\angle C = 30^\circ$ , $DE$ 是三角形的中位线,AB边长为 $2\text{ m}$ 。质量为 $1.6 \times 10^{-27}\text{ kg}$ 的一价正离子从 $D$ 点以垂直于 $AD$ 的速度方向射入电场,正离子在运动过程中经过 $B$ 点,已知 $A$ 、 $C$ 、 $E$ 点的电势分别为 $2\text{ V}$ 、 $26\text{ V}$ 、 $17\text{ V}$ ,电子电量为 $-1.6 \times 10^{-19}\text{ C}$ 。下列说法正确的是

- A.  $D$ 点的电势为 $14\text{ V}$
- B. 正离子从 $D$ 点运动到 $B$ 点过程中,静电力做功 $-6\text{ eV}$
- C. 匀强电场的场强方向由 $D$ 点指向 $A$ 点,大小为 $6\text{ V/m}$
- D. 正离子从 $D$ 点射入的速度大小为 $3 \times 10^4\text{ m/s}$



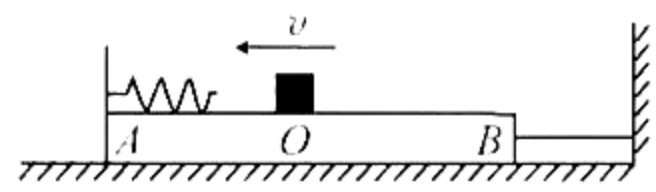
10. 卫星 1 和卫星 2 分别沿圆轨道和椭圆轨道环绕地球运行, 两轨道在同一平面内相交于 A、B 两点, 卫星 2 在近地点离地心的距离是卫星 1 轨道半径的  $\frac{1}{k}$  倍, 如图所示, 某时刻两卫星与地心在同一直线上, D 点为远地点, 当卫星 2 运行到 A 点时速度方向与 CD 连线平行。已知近地点的曲率半径为  $\rho = \frac{b^2}{a}$ , 式中  $a$ 、 $b$  分别是椭圆的半长轴和半短轴。下列说法中正确的是

- A. 两卫星在 A 点的加速度相同
- B. 卫星 2 在近地点的加速度大小是卫星 1 加速度大小的  $k$  倍
- C. 卫星 2 在近地点的速率是卫星 1 速率的  $k$  倍
- D. 卫星 2 运行到近地点时, 卫星 1 和卫星 2 的连线过地心



11. 如图, 质量为  $M$  的长木板静止在光滑水平面上, 上表面 OA 段光滑, OB 段粗糙,  $OA = OB = l$ , 左端固定劲度系数为  $k$  的轻质弹簧, 右端用不可伸长的轻绳连接于竖直墙上。质量为  $m$  的小滑块以速度  $v$  从 O 点向左运动并压缩弹簧, 弹簧压缩量为  $x$  时轻绳被拉断, 最终小滑块恰好没有从长木板上掉落。已知弹簧原长小于  $l$ , 重力加速度为  $g$ , 下列说法正确的是

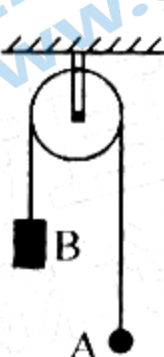
- A. 轻绳被拉断瞬间, 木板的加速度大小为  $\frac{kx}{M}$
- B. 最终长木板与滑块一起以速度  $\frac{m}{M+m}v$  向左匀速运动
- C. 弹簧恢复原长时, 滑块的动能可能为  $\frac{1}{2}mv^2$
- D. 滑块与长木板的 OB 部分间的动摩擦因数为  $\frac{Mv^2 + kx^2}{2(M+m)gl}$



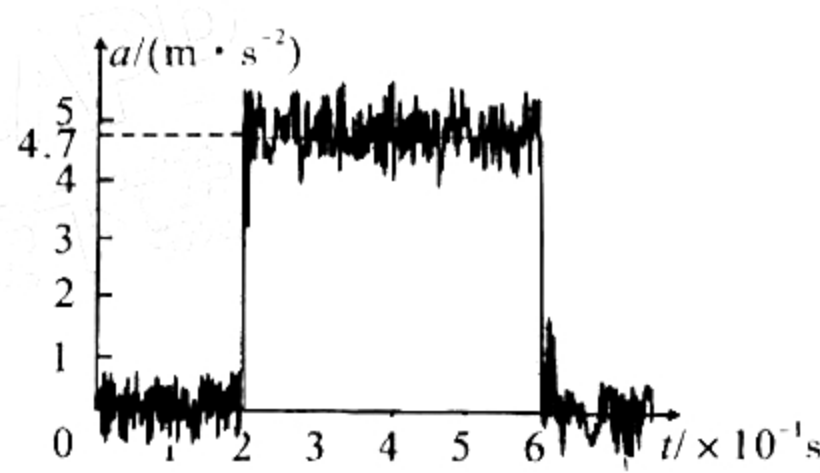
## 二、非选择题: 本题共 5 小题, 共 56 分。

12. (7 分) 某实验小组用如图(a)所示装置测量重力加速度。将小球 A 和手机 B 分别系在一条跨过定滑轮的不可伸长的软绳两端。打开手机 B 的 phyphox 软件, 令小球 A 和手机 B 静止, 细绳拉紧, 然后释放小球 A 和手机 B, 通过 phyphox 软件测得手机的加速度随时间变化的图线如图(b), 实验室提供的物理量有: 小球 A 的质量  $m_A = 50.0$  g, 手机 B 的质量  $m_B = 150.0$  g, 当地实际重力加速度  $g = 9.8$  m/s<sup>2</sup>。

- (1) 实验测得的重力加速度大小为 \_\_\_\_\_ m/s<sup>2</sup>。(结果保留两位有效数字)
- (2) 实验测得的重力加速度与实际重力加速度有明显差异, 除实验中的偶然误差外, 请写出一条可能产生这一结果的原因: \_\_\_\_\_。
- (3) 有同学提出本实验还可以研究机械能是否守恒, 在小球 A 上方  $h$  高处安装光电门和配套的数字计时器。令小球 A 和手机 B 静止, 细绳拉紧, 然后释放小球 A 和手机 B, 数字计时器记录小球 A 通过光电门的时间  $t$ , 除实验室提供的物理量外, 还需要测量的物理量有 \_\_\_\_\_ (写出物理量的名称和符号), 需要验证的原理式为 \_\_\_\_\_ (用实验室提供的物理量符号和测量的物理量符号表示)。

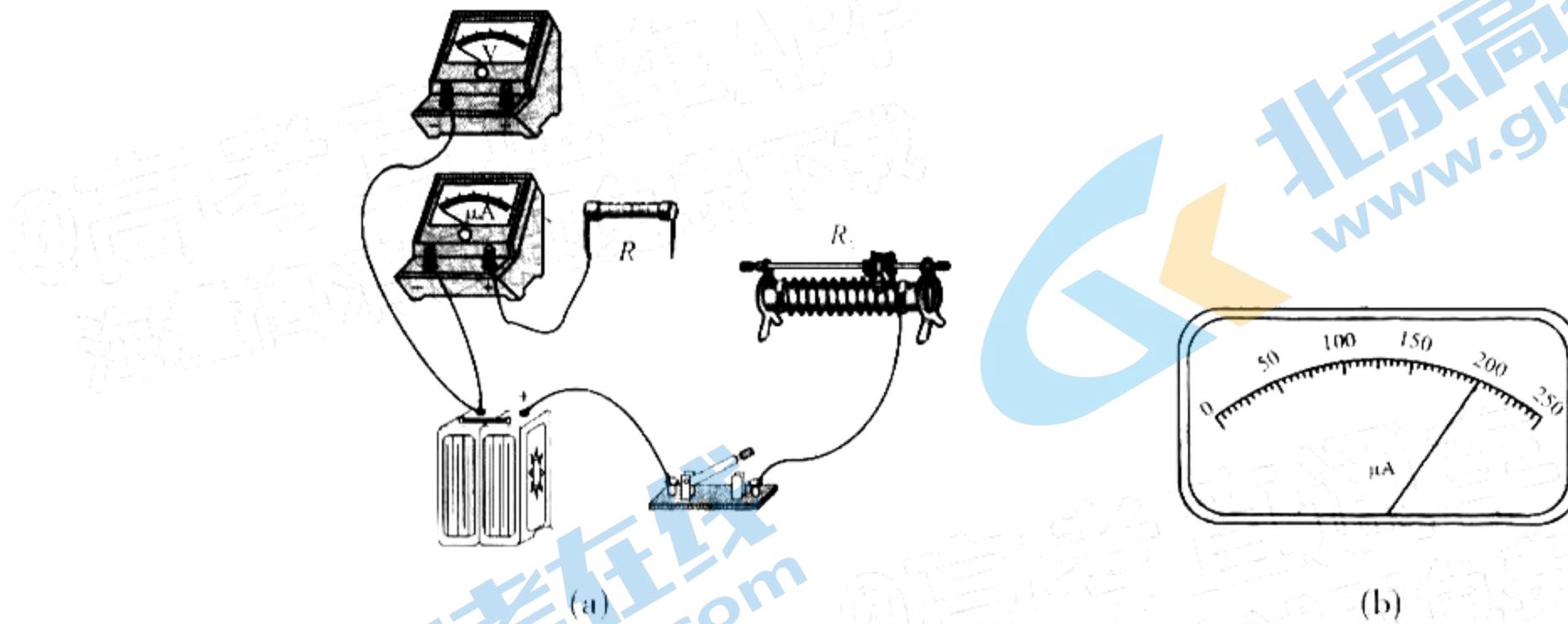


(a)



(b)

13. (9分) 如图(a)所示实验器材,小明同学将一量程为  $250\mu\text{A}$ 、内阻为  $400\Omega$  的微安表  $\mu\text{A}$  改装成量程为  $1.5\text{V}$  的电压表,经计算后将电阻  $R$  与该微安表连接进行改装,然后用标准电压表  $V$  对改装后的电压表进行检测。



(1) 实验要求电压从零开始检测,请完成图(a)实物连线。

(2) 调节  $R$  的滑片位置,当标准电压表的示数为  $1.40\text{V}$  时,微安表的指针位置如图(b)。由此可以推  
测出所改装的电压表量程是 \_\_\_\_\_  $\text{V}$ 。

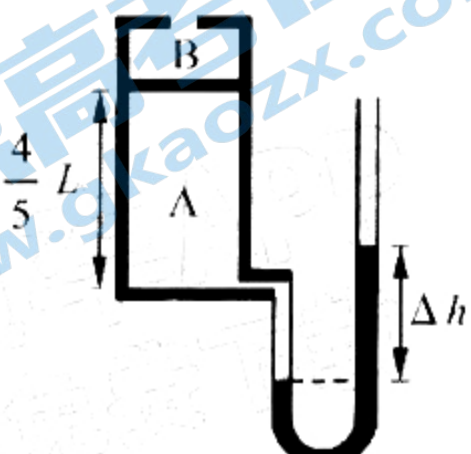
(3) 若产生(2)中所述问题的原因是所接电阻  $R$  的阻值错误,则所接电阻  $R$  的阻值为 \_\_\_\_\_  $\Omega$ 。

(4) 要实现改装后电压表的量程是  $1.5\text{V}$ ,只需要在电阻  $R$  两端并联一个阻值为 \_\_\_\_\_  $\Omega$  的电阻即可。

14. (9分) 如图所示,上端带有卡口的横截面积为  $S$ 、高为  $L$  的导热性能良好的气缸中用一光滑的活塞 B 封闭着一定质量的理想气体 A,气缸底部与 U 形水银气压计(U 形管内气体体积忽略不计)相连,已知气体内能  $U$  与热力学温度  $T$  的关系为  $U = \alpha T$ ,其中  $\alpha$  为已知常数,活塞 B 的质量为  $m$ ,重力加速  
度为  $g$ ,大气压强为  $p_0$ ,水银的密度为  $\rho$ ,环境热力学温度为  $T_0$  时,活塞离缸底的距离为  $\frac{4}{5}L$ 。求:

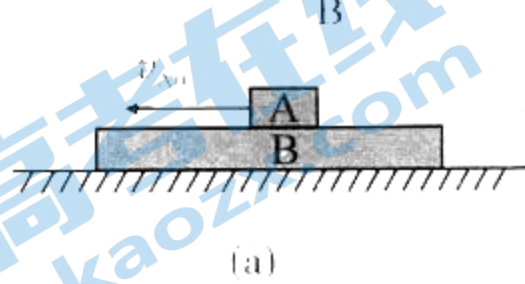
(1) 环境温度为  $T_0$  时,U形气压计两侧水银面的高度差  $\Delta h$ ;

(2) 环境温度由  $T_0$  缓慢升高至  $\frac{3}{2}T_0$  过程中,气体吸收的热量。

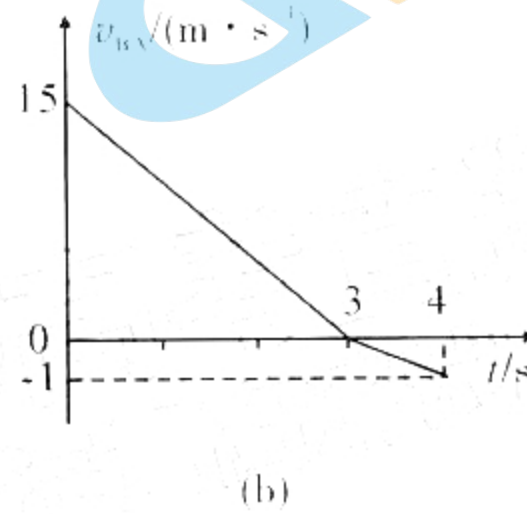


15. (15分) 如图(a),一长方体木板B放在粗糙水平地面上,上面放置小物块A,A、B的质量均为1 kg。取水平向右为正方向,木板B相对于A运动的速度用 $v_{BA} = v_B - v_A$ 表示,其中 $v_A$ 和 $v_B$ 分别为A和B相对水平地面的速度。在 $t=0$ 时刻,同时突然分别给A、B初速度,其中A的初速度为 $v_{A0} = -1 \text{ m/s}$ ,负号表示速度方向水平向左。在 $0 \sim 4 \text{ s}$ 时间内,相对速度 $v_{BA}$ 随时间 $t$ 变化的关系如图(b)。运动过程中A始终未脱离B,重力加速度 $g$ 取 $10 \text{ m/s}^2$ 。求:

- (1)从 $t=0$ 时刻到B停止运动的过程中,B所受摩擦力的总冲量;
- (2)A与B之间的动摩擦因数 $\mu_A$ 以及B与地面之间的动摩擦因数 $\mu_B$ ;
- (3)从 $t=0$ 时刻到B停止运动的过程中,A与B之间、B与地面之间因摩擦产生的总热量。

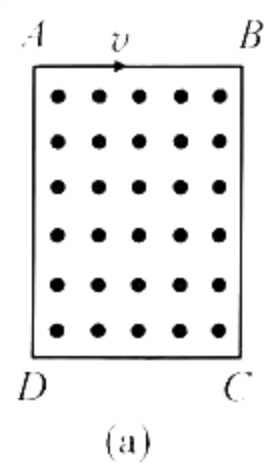


(a)

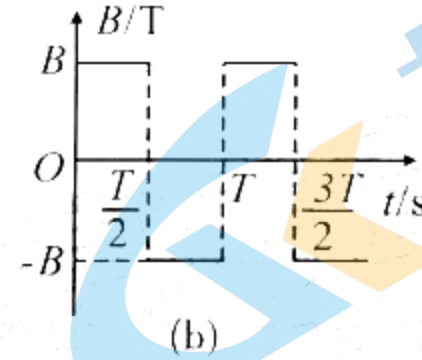


(b)

16. (16分) 如图(a),矩形区域ABCD(包含边界)中存在匀强磁场,其中 $AD = \frac{7}{4}d$ , $AB = \frac{5}{4}d$ ,质量为 $m$ 、电量为 $q$ 的正离子以初速度 $v$ 从A点沿AB边射入匀强磁场中,规定垂直于ABCD平面向外为磁场的正方向,设匀强磁场的磁感应强度 $B$ 随时间作周期性变化如图(b),题中 $m$ 、 $q$ 、 $d$ 、 $v$ 为已知量, $B$ 、 $T$ 未知,求:



(a)



(b)

- (1)若磁感应强度 $B = \frac{8mv}{5qd}$ ,在BC边的右侧加一垂直于BC边向左的匀强电场, $t=0$ 时刻射入磁场的正离子刚好在 $t=T$ 时刻垂直于BC边离开磁场,经过一段时间后,又沿BA边从A点离开磁场区域,求正离子在电场中运动的路程;
- (2)若磁感应强度 $B = \frac{8mv}{5qd}$ ,欲使在 $0 \sim \frac{T}{2}$ 时间内射入磁场的正离子均不能由AD边离开磁场,求磁场的周期 $T$ 应满足的条件;
- (3)若磁感应强度 $B = \frac{4mv}{qd}$ ,欲使在 $t=0$ 时刻射入磁场的正离子垂直于CD边离开磁场,求磁场的周期 $T$ 。(取 $\sin \frac{\pi}{10} = \frac{1}{3}$ )

# 2022届高三第二次T8联考

## 物理试题参考答案

题号	1	2	3	4	5	6	7	8	9	10	11
答案	A	C	D	B	C	C	D	CD	ACD	AD	AD

### 1.【答案】A

【解析】根据光电效应方程得  $h\nu_1 = W_0 + E_{k1}$ ,  $h\nu_2 = W_0 + E_{k2}$ ,  $E_{k1} = eU_1$ ,  $E_{k2} = eU_2$  联立可得  $h = \frac{eU_1 - eU_2}{\nu_1 - \nu_2}$ ,

选项 A 正确;一个氢原子从基态向  $n=3$  的能级跃迁时,最多可以吸收 2 种不同频率的光,选项 B 错误;半衰期是大量原子核发生衰变行为的预测,对个别原子核,我们只知道它发生衰变的概率,而不知道它将何时衰变,选项 C 错误;轻核聚变会释放能量,有质量亏损,反应物的核子平均质量大于生成物的核子平均质量,选项 D 错误。

### 2.【答案】C

【解析】根据  $v_t^2 = 2ax$ ,  $v_0 = 30 \text{ m/s}$ ,  $x = 75 \text{ m}$  得,  $a = 6 \text{ m/s}^2$ , 选项 A 错误;又  $a = \mu g$ , 得  $\mu = 0.6$ , 选项 B 错误;由  $v = v_0 - at$  得, 3 s 时刻, 汽车的速度大小为 12 m/s, 选项 C 正确;汽车减速到零的时间为 5 s, 前 6 s 内, 汽车的位移大小为 75 m, 选项 D 错误。

### 3.【答案】D

【解析】由竖直方向匀变速直线运动方程  $v = v_0 - gt$  及  $y-t$  图线斜率表示竖直分速度知,  $t=1 \text{ s}$  时,  $v = 4 \text{ m/s}$ , 得谷爱凌冲出跳台时的竖直分速度  $v_0 = 14 \text{ m/s}$ , 还有水平分速度, 选项 A 错误;最高点竖直分速度为 0, 得时间  $t=1.4 \text{ s}$  到达最高点, 由  $y = y_0 + v_0 t - \frac{1}{2} g t^2$ , 其中  $y_0 = 3 \text{ m}$ ,  $t=1.4 \text{ s}$ , 解得离跳台底部所在水平面的高度为  $y = 12.8 \text{ m}$ , 选项 B 错误;  $t=1.0 \text{ s}$  和  $t=1.8 \text{ s}$  时, 竖直分速度大小相等, 方向相反, 但是合速度只是大小相等, 方向并不是相反, 选项 C 错误;谷爱凌落到跳台底部所在水平面的竖直分速度  $v = \sqrt{2gy} = 16 \text{ m/s}$ , 则合速度一定大于 16 m/s, 选项 D 正确。

### 4.【答案】B

【解析】在指纹凸部(脊线),入射光的某些部分被吸收或者漫反射到别的地方,指纹模块接收到光线较暗,在指纹凹部(谷线),入射光在棱镜界面发生全反射,指纹模块接收到光线较亮,因此指纹模块接收光线较暗的部位是指纹脊线,较亮的部位是指纹谷线,选项 A 错误,选项 B 正确;没有手指放入时,若光源正常发光,入射光在棱镜界面发生全反射,指纹模块上会接收到全亮图像,选项 C 错误;因透明玻璃的折射率大于水的折射率,因此,手指湿润时,棱镜界面仍然有部分光能发生全反射,也可能有部分光无法发生全反射,使得指纹识别率低,因此选项 D 错误。

### 5.【答案】C

【解析】交流电压表读数为有效值,由  $\frac{U_1}{U_2} = \frac{n_1}{n_2}$ , 得电压表  $V_1$  读数为  $U_2 = 20 \text{ V}$ , 断开开关 S 后,  $R_2$  和  $R_3$  并联回路的电阻增大,其电压相应增大,电压表  $V_2$  读数变大,选项 A 错误;断开开关 S 后,副线圈的总电阻增大,总电流减小,由  $\frac{I_1}{I_2} = \frac{n_2}{n_1}$  知,原线圈的电流也减小,两电流之比不变,选项 B 错误;断开开关 S 后,原、副线圈的电流都减小,原线圈的输入功率相应减小,电阻  $R_1$  的功率也相应减小,电阻  $R_2$  的电压增大,功率相应增大,选项 C 正确;设副线圈后的总电阻为 R, 等效到原线圈电阻为  $R'$ , 由  $\frac{U_2^2}{R} = \frac{U_1^2}{R'}$  得,  $R' = \left(\frac{n_1}{n_2}\right)^2 R = 121R > R_1$ , 断开开关 S 后,副线圈后的总电阻增大,由电源输出功率与外电阻的关系可知,副线圈回路消耗的功率减小,选项 D 错误。

### 6.【答案】C

【解析】 $t_0$  时刻线框中产生的感应电动势大小  $E = \frac{\Delta\Phi}{\Delta t} = \frac{B_0}{t_0} \cdot \frac{1}{2} d^2 = \frac{B_0 d^2}{2 t_0}$ , 选项 A 错误;  $t_0$  时刻的感应电流为  $I = \frac{E}{R} = \frac{B_0 d^2}{2 R t_0}$ , 虚线 MN 左、右侧磁感应强度均为  $B_0$ , 线框左边受安培力为  $F_1 = Id B_0 = \frac{B_0^2 d^3}{2 R t_0}$ , 方向向右, 线框右边受安培力为  $F_2 = Id B_0 = \frac{B_0^2 d^3}{2 R t_0}$ , 方向仍向右, 线框上、下边所受安培力的合力为 0, 整个线框所受安培力的合力为  $F = F_1 + F_2 = \frac{B_0^2 d^3}{R t_0}$ , 方向向右, 选项 B 错误;  $2t_0$  时, 虚线 MN 左侧磁感应强度为  $2B_0$ , 线框左边受到的安培力大小为  $2F_1 = 2Id B_0 = \frac{B_0^2 d^3}{R t_0}$ , 方向向右, 线框右边受到的安培力大小仍为  $F_2$ , 方向仍向右, 线框上、下边所受安培力的合力为 0, 整个线框所受安培力的合力为  $F = 2F_1 + F_2 = \frac{3B_0^2 d^3}{2 R t_0}$ , 方向向右, 选项 C 正确; 在  $0 \sim 2t_0$  内, 通过线框某横截面的电荷量为  $q = 2t_0 I = \frac{B_0 d^2}{R}$ , 选项 D 错误。

### 7.【答案】D

【解析】根据上、下坡法,  $S_1$  的起振方向沿 y 轴正方向,  $S_2$  的起振方向沿 y 轴负方向, 选项 A 错误;由图知波长  $\lambda = 4 \text{ m}$ , 则周期  $T = \frac{\lambda}{v} = 2 \text{ s}$ ,  $t=0$  时刻, 两波的第一个波峰距离  $\Delta x = 20 \text{ m}$ , 两列波的第一个波峰相遇的时间为  $\Delta t = \frac{\Delta x}{2v} = 5 \text{ s}$ , 相遇位置在  $x=0$  处, 选项 B 错误;  $S_1$  的振动在

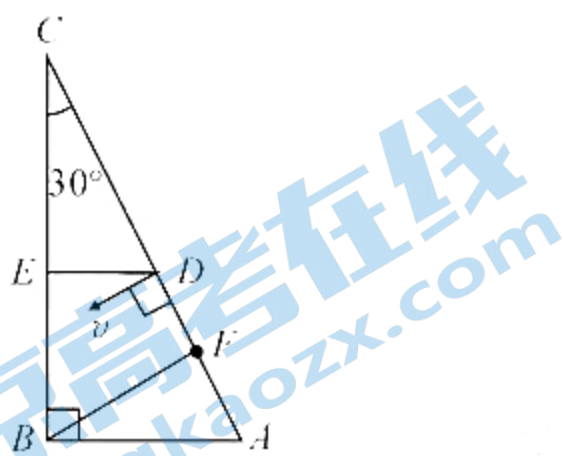
$t=4.5$  s时传播到 $x=-2$  m处, $S_2$ 的振动经 $t=3.5$  s时传播到 $x=-2$  m处,在 $0\sim 3.5$  s内, $x=-2$  m的质点不动, $3.5\sim 4.5$  s内,该质点运动半个周期,只参与 $S_1$ 的振动,运动的路程 $s_1=2A=8$  cm,在 $4.5\sim 5$  s内,两列波分别在 $x=-2$  m处的振动情况恰好相同,运动的路程 $s_2=8$  cm,则 $x=-2$  m处质点运动的总路程 $s=s_1+s_2=16$  cm,选项C错误;两波源振动同步,振动加强点满足波程差 $\Delta s=n\lambda$ ,其中 $n=0,1,2,3,4$ ,即两波源间(不含波源)有9个振动加强点,如图坐标 $x=-8,-6,-4,-2,0,2,4,6,8$ (单位:m)共9个点,选项D正确。

#### 8.【答案】CD

**【解析】**根据左手定则,左、右两侧导体板所接电源的正、负极与图示方向相同时,海水受到安培力向前,根据牛顿第三定律,海水对磁场(实质是海水对超导潜艇)的作用力向后,该力是使潜艇后退的力,选项A错误;改变超导线圈中电流的方向,匀强磁场的方向发生改变,同时改变海水中电流的方向,则潜艇受磁场力的方向不变,选项B错误;设推进器两侧导体板的面积为S,间距为d,装满水时,磁场力为 $F=ISdB=IVB$ ,选项C正确;船在海水中匀速前进时,可视为导体在海水中切割磁感线,产生与电流方向相反的感应电动势,所以海水中的电流小于 $\frac{U}{R}$ ,选项D正确。

#### 9.【答案】ACD

**【解析】**由匀强电场中两点间的电势差与距离成正比,得 $\varphi_C-\varphi_B=\varphi_D-\varphi_A$ , $\varphi_C-\varphi_E=\varphi_F-\varphi_B$ ,得 $\varphi_D=14$  V, $\varphi_E=8$  V,选项A正确;离子从D点运动到B点过程中,静电力做功 $W=e(\varphi_D-\varphi_B)=6$  eV,选项B错误;如图,取DA中点F,则 $\varphi_F=8$  V,连接BF,即为等势线,由几何关系知, $AC \perp BF$ ,故匀强电场的场强方向由D点指向A点,大小 $E=\frac{\varphi_D-\varphi_F}{DF}=6$  V/m,选项C正确;粒子的初速度方向与场强方向垂直,做类平抛运动,有 $DF=\frac{1}{2}\frac{Ee}{m}t^2=1$  m, $FB=v_0t=\sqrt{3}$  m,解得 $v_0=3\times 10^4$  m/s,选项D正确。



#### 10.【答案】AD

**【解析】**卫星2和卫星1在A点的加速度都是由万有引力提供,万有引力相同,其加速度相同,选项A正确;卫星1做匀速圆周运动,由万有引力提供向心力,有 $G\frac{Mm_1}{r^2}=m_1a_1$ ,解得 $a_1=G\frac{M}{r^2}$ ,卫星2做椭圆运动,

在近地点,由万有引力提供向心力,有 $G\frac{Mm_2}{(\frac{1}{k}r)^2}=m_2a_2$ ,

解得 $a_2=G\frac{M}{(\frac{1}{k}r)^2}$ ,所以, $a_2=k^2a_1$ ,选项B错误;同理,

对卫星1和2有 $G\frac{Mm_1}{r^2}=m_1\frac{v_1^2}{r}$ , $G\frac{Mm_2}{(\frac{1}{k}r)^2}=m_2\frac{v_2^2}{\rho}$ ,解

得 $v_1=\sqrt{\frac{GM}{r}}$ , $v_2=\sqrt{\frac{GM\rho}{(\frac{1}{k}r)^2}}=k\sqrt{\frac{GM\rho}{r^2}}$ ;当卫星2运

行到A点时速度方向与CD平行知,A点是椭圆的上顶点,即 $a=r$ ,又近地点的曲率半径 $\rho=\frac{b^2}{a}$ ,得 $v_2=\frac{bk}{r}v_1$ ,椭圆

有 $a^2=b^2+c^2$ , $a-c=\frac{1}{k}r$ 即 $c=r-\frac{1}{k}r$ , $b=r\sqrt{\frac{2}{k}-\frac{1}{k^2}}$ ,联立解得 $v_2=\sqrt{2k-1}\cdot v_1$ ,选项C错误;

由开普勒第三定律知 $\frac{r^3}{T_1^2}=\frac{a^3}{T_2^2}$ ,得 $T_1=T_2$ ,即卫星1的周期和卫星2的周期相等,其半周期也相等,选项D正确。

#### 11.【答案】AD

**【解析】**轻绳被拉断瞬间弹簧的弹力等于 $kr$ ,对木板,由牛顿第二定律得 $kr=Ma$ ,得 $a=\frac{kr}{M}$ ,故选项A正确;轻绳断之前对长木板和滑块组成的系统有拉力,系统动量不守恒,故选项B错误;弹簧恢复原长时木板有动能,所以滑块的动能小于 $\frac{1}{2}mv_1^2$ ,故选项C错误;设轻绳被拉断时滑块的速度为 $v_1$ ,弹力做功 $W=-\frac{0+kr}{2}x=-\frac{1}{2}kx^2$ ,根据动能定理有 $W=\frac{1}{2}mv_1^2-\frac{1}{2}mv_0^2$ ,轻绳被拉断后,根据动量守恒定律有 $mv_1=(M+m)v_2$ ,由功能关系有 $\mu mg l=\frac{1}{2}mv_1^2-\frac{1}{2}(M+m)v_2^2$ ,联立解得 $\mu=\frac{Mv_0^2+kx^2}{2(M+m)gl}$ ,选项D正确。

#### 12.【答案】(1) 9.1 (2分)

(2)滑轮的轴不光滑(或滑轮有质量,软绳有质量,物体运动过程中受空气阻力,手机在下落过程中发生摆动等)(2分)

(3)小球A的直径d(1分)

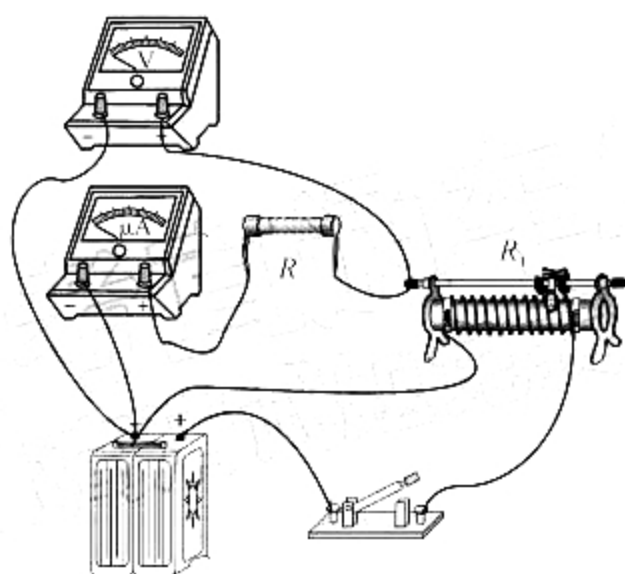
$$(m_B-m_A)gh=\frac{1}{2}(m_A+m_B)\left(\frac{d}{l}\right)^2 \quad (2 \text{ 分})$$

**【解析】**(1)由图(b)读出加速度为 $a=4.7 \text{ m/s}^2$ ,根据牛顿第二定律, $(m_B-m_A)g_1=(m_A+m_B)a$ ,代入数据得 $g_1=9.4 \text{ m/s}^2$ 。

(2)测量的重力加速度小于实际值,除偶然误差外,也可能是由于滑轮的轴不光滑,或滑轮有质量,软绳有质量,物体运动过程中受空气阻力,手机在下落过程中发生摆动等原因。

(3)还需要测量的物理量有:小球A的直径d;需要验证的原理式为 $(m_B-m_A)gh=\frac{1}{2}(m_A+m_B)\left(\frac{d}{l}\right)^2$ 。

13.【答案】(1)连图如下(3分)



(2)1.75(2分)

(3)6600(2分)

(4)36960(2分)

【解析】(1)实验要求从零开始检测,接成分压式电路;电阻 $R$ 与微安表串联,改装后的电压表与标准电压表并联检测,注意正、负极。

(2)图(b)中读数是 $200\mu\text{A}$ ,由 $\frac{1.40\text{ V}}{200\mu\text{A}} = \frac{U}{250\mu\text{A}}$ ,得 $U = 1.75\text{ V}$ ,所改装的电压表量程是 $1.75\text{ V}$ 。

(3)量程为 $1.75\text{ V}$ 的电压表的内阻为 $\frac{1.75\text{ V}}{250\mu\text{A}} = 7000\Omega$ ,所接电阻 $R$ 的阻值为 $7000\Omega - 400\Omega = 6600\Omega$ 。

(4)量程为 $1.5\text{ V}$ 的电压表的内阻为 $\frac{1.5\text{ V}}{250\mu\text{A}} = 6000\Omega$ ,由并联电阻规律 $\frac{1}{(6000-400)\Omega} = \frac{1}{6600\Omega} + \frac{1}{r}$ ,解得 $r = 36960\Omega$ 。

14.【答案】(1)  $\frac{m}{\rho S}$  (3分)

(2)  $\frac{1}{2}\alpha T_0 + \frac{1}{5}p_0 LS + \frac{1}{5}mgL$  (6分)

【解析】(1)设稳定后汽缸内气体的压强为 $p_1$ ,对活塞,根据平衡条件得 $mg + p_0S = p_1S$ (1分)

对水银柱,有 $p_1 = p_0 + \rho g \Delta h$ (1分)

解得 $\Delta h = \frac{m}{\rho S}$ (1分)

(1)缓慢升高环境温度,活塞B上升,气体发生等压变化,U形导管两侧水银面的高度差不变,设活塞B刚好到达容器口时,温度为 $T_1$ ,由盖—吕萨克定律得

$$\frac{\frac{4}{5}LS}{T_0} = \frac{LS}{T_1} \quad (2\text{分})$$

$$\text{解得 } T_1 = \frac{5}{4}T_0 < \frac{3}{2}T_0 \quad (1\text{分})$$

之后,气体温度由 $\frac{5}{4}T_0$ 升高到 $\frac{3}{2}T_0$ ,气体发生等容变化。

整个过程中,外界对气体做的功

$$W = -p_1 \left( LS - \frac{4}{5}LS \right) \quad (1\text{分})$$

$$\text{由热力学第一定律得, } \alpha \left( \frac{3}{2}T_0 - T_0 \right) = Q - W \quad (1\text{分})$$

$$\text{解得 } Q = \frac{1}{2}\alpha T_0 + \frac{1}{5}p_0 LS + \frac{1}{5}mgL \quad (1\text{分})$$

15.【答案】(1)  $14\text{ N}\cdot\text{s}$ ,方向向左(4分)

$$(2) \mu_A = 0.1, \mu_B = 0.15 \quad (6\text{分})$$

(3)  $98\text{ J}$ (5分)

【解析】(1)B的初速度为 $v_{B0} = v_{Ax} + v_{Ay} = 14\text{ m/s}$ (1分)

设A、B的质量均为 $m$ ,从 $t=0$ 时刻到B停止运动的过程中,B所受摩擦力的总冲量等于动量的变化量,有

$$I = 0 - mv_{B0} \quad (2\text{分})$$

解得, $I = -14\text{ N}\cdot\text{s}$ ,负号表示冲量的方向水平向左(1分)

(2)  $0 \sim 3\text{ s}$ 内,A、B的加速度分别为 $a_{A1}$ 和 $a_{B1}$ ,由图(b)知,B初始时向右运动,根据牛顿第二定律

$$\mu_A mg = ma_{A1} \quad (1\text{分})$$

$$-\mu_A mg - 2\mu_B mg = ma_{B1} \quad (1\text{分})$$

木板B相对于A运动的加速度为图线斜率,有

$$a_{BA1} = a_{B1} - a_{A1} = -5\text{ m/s}^2 \quad (1\text{分})$$

$3 \sim 4\text{ s}$ 内,B相对于A向左运动,A、B的加速度分别为 $a_{A2}$ 和 $a_{B2}$ ,根据牛顿第二定律

$$\mu_A mg = ma_{A2} \quad (1\text{分})$$

$$\mu_A mg - 2\mu_B mg = ma_{B2} \quad (1\text{分})$$

木板B相对于A运动的加速度为图线斜率,有

$$a_{BA2} = a_{B2} - a_{A2} = -1\text{ m/s}^2 \quad (1\text{分})$$

联立解得 $\mu_A = 0.1, \mu_B = 0.15$ (1分)

(3)设 $t=3\text{ s}$ 时A、B共速的速度为 $v$ ,有

$$v = v_{A0} + a_{A1}t \quad (1\text{分})$$

$$\text{之后,B减速到零的时间 } t_B = \frac{0-v}{a_{B2}} \quad (1\text{分})$$

$$\text{此时,A的速度为 } v_A = v + a_{A2}t_B \quad (1\text{分})$$

由能量守恒定律得,从 $t=0$ 时刻到B停止运动的过程中,A与B间、B与地面间因摩擦产生的总热量为

$$Q = \frac{1}{2}m v_{A0}^2 + \frac{1}{2}m v_{B0}^2 - \frac{1}{2}m v_A^2 \quad (1\text{分})$$

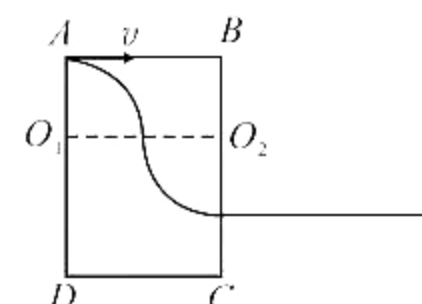
$$\text{解得 } Q = 98\text{ J} \quad (1\text{分})$$

16.【答案】(1)  $\frac{5n\pi d}{16}$  ( $n=1,2,3,\dots$ )(4分)

$$(2) T \leq \frac{25\pi d}{24v} \quad (3\text{分})$$

$$(3) \frac{\pi d}{3v} \text{ 或 } \frac{3\pi d}{10v} \quad (9\text{分})$$

【解析】(1)设正离子在磁场中做匀速圆周运动的半径为 $R$ ,周期为 $T_0$ ,正离子的运动轨迹如图所示。



根据牛顿第二定律,有

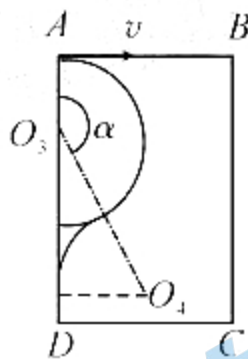
$$Bqv = \frac{mv^2}{R} \quad (1\text{分})$$

$$\text{周期 } T_0 = \frac{2\pi R}{v} \quad (1\text{分})$$

正离子在电场中运动的路程  $s = \frac{1}{2}v \times \frac{1}{2}nT_0$  ( $n=1, 2, 3, \dots$ ) (1分)

联立解得  $s = \frac{5\pi d}{16}$  ( $n=1, 2, 3, \dots$ ) (1分)

(2) 从  $t=0$  时刻射入的离子最有可能从  $AD$  边离开, 其临界条件是正离子的运动轨迹恰好与  $AD$  边相切, 如图所示。



设离子在  $\frac{1}{2}T$  内转过的圆心角为  $\alpha$ , 则  $\frac{\pi}{2} < \alpha < \pi$ , 由几何关系得

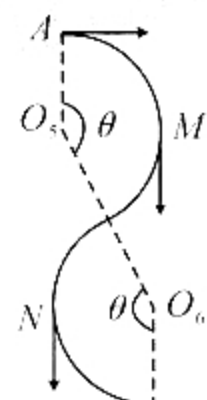
$$\sin(\pi - \alpha) \geq \frac{R}{2R} \quad (1 \text{ 分})$$

$$\frac{1}{2}T = \frac{\alpha}{2\pi} T_0 \quad (1 \text{ 分})$$

联立解得  $T \leq \frac{25\pi d}{24v}$  (1分)

经检验上式取等号时, 离子恰好与  $AD$  边相切。

(3) 正离子在磁场中一个周期的运动轨迹如图所示, 经历完整的周期数为  $k$  ( $k=0, 1, 2, 3, \dots$ )。设正离子在磁场中做匀速圆周运动的半径为  $r$ , 周期为  $T_1$ ,  $\frac{1}{2}T$  内粒子运动轨迹对应的圆心角为  $\theta$ , 则  $\frac{\pi}{2} < \theta < \pi$ 。根据牛顿第二定律得



$$Bqv = \frac{mv^2}{r} \quad (1 \text{ 分})$$

$$\text{又 } T_1 = \frac{2\pi r}{v} \quad (1 \text{ 分})$$

$$\frac{1}{2}T = \frac{\theta}{2\pi} T_1 \quad (1 \text{ 分})$$

若正离子经  $k$  个周期后从  $M$  点射出磁场, 有

$$r + 2kr[1 + \cos(\pi - \theta)] = \frac{7}{4}d \quad (k=0, 1, 2, 3, \dots) \quad (1 \text{ 分})$$

解得, 只有当  $k=2$  时成立, 对应  $\theta = \frac{2\pi}{3}$  (1分)

检验水平方向位移  $x = r + 4r\sin(\pi - \theta) = \frac{1+2\sqrt{3}}{4}d < \frac{5}{4}d$ , 成立

相应的磁场的周期  $T = \frac{\pi d}{3v} \quad (1 \text{ 分})$

若正离子经  $k$  个周期后从  $N$  点射出磁场, 有

$$r + 2r\cos(\pi - \theta) + 2kr[1 + \cos(\pi - \theta)] = \frac{7}{4}d \quad (k=0, 1, 2, 3, \dots) \quad (1 \text{ 分})$$

只有当  $k=2$  时成立, 对应  $\cos(\pi - \theta) = \frac{1}{3}$ ,  $\theta = \frac{3}{5}\pi$  (1分)

检验水平方向位移

$$x = r + 4r\sin(\pi - \theta) = \left(\frac{1}{4} + \frac{2\sqrt{2}}{3}\right)d < \frac{5}{4}d, \text{ 成立}$$

相应的磁场的周期  $T = \frac{3\pi d}{10v} \quad (1 \text{ 分})$

## 双向细目表

题号	题型	考查内容	分值	预计难度	预计得分
1	单选题	光电效应、能级、衰变、核反应	4	0.80	3.20
2	单选题	匀变速直线运动、图像	4	0.80	3.20
3	单选题	斜抛运动、竖直上抛运动、位移—时间图像	4	0.70	2.80
4	单选题	全反射	4	0.60	2.40
5	单选题	交变电流、变压器、有效值	4	0.60	2.40
6	单选题	电磁感应、感应电动势、安培力、闭合电路欧姆定律	4	0.60	2.80
7	单选题	振动和波、波的叠加	4	0.40	1.60
8	多选题	磁场、安培力、非纯电阻电路	4	0.60	2.40
9	多选题	电势差与场强的关系、静电力做功、带粒子在匀强电场中的类平抛运动	4	0.50	2.00
10	多选题	天体运动、万有引力定律、开普勒第三定律	4	0.40	1.60
11	多选题	动量守恒定律、动能定理、功能关系、胡克定律	4	0.40	1.60
12	实验题	力学实验：测重力加速度、验证机械能守恒定律	7	0.70	4.90
13	实验题	电学实验：电表改装、实物连图	9	0.50	4.50
14	计算题	压强、气体实验定律、热力学第一定律	9	0.50	4.50
15	计算题	牛顿运动定律、运动学、相对速度图像、动量定理、能量守恒定律	15	0.40	6.00
16	计算题	带电粒子在电、磁场中的运动周期性问题	16	0.40	6.40

## 关于我们

北京高考在线创办于 2014 年，隶属于北京太星网络科技有限公司，是北京地区极具影响力中学升学服务平台。主营业务涵盖：北京新高考、高中生涯规划、志愿填报、强基计划、综合评价招生和学科竞赛等。

北京高考在线旗下拥有网站门户、微信公众平台等全媒体矩阵生态平台。平台活跃用户 40W+，网站年度流量数千万量级。用户群体立足于北京，辐射全国 31 省市。

北京高考在线平台一直秉承“精益求精、专业严谨”的设计理念，不断探索“K12 教育+互联网+大数据”的运营模式，尝试基于大数据理论为广大中学和家长提供新鲜的高考资讯、专业的高考政策解读、科学的升学规划等，为广大高校、中学和教科研单位提供“衔接和桥梁纽带”作用。

平台自创办以来，为众多重点大学发现和推荐优秀生源，和北京近百所中学达成合作关系，累计举办线上线下升学公益讲座数百场，帮助数十万考生顺利通过考入理想大学，在家长、考生、中学和社会各界具有广泛的口碑影响力。

未来，北京高考在线平台将立足于北京新高考改革，基于对北京高考政策研究及北京高校资源优势，更好的服务全国高中家长和学生。



微信搜一搜

北京高考资讯

官方微博账号: bjgkzx

官方网站: [www.gaokzx.com](http://www.gaokzx.com)

咨询热线: 010-5751 5980

微信客服: gaokzx2018